

[Abbildungen = Images]

Objektyp: **Appendix**

Zeitschrift: **Bericht der Eidgenössischen Kommission zur Überwachung der Radioaktivität**

Band (Jahr): **17 (1973)**

PDF erstellt am: **20.06.2024**

Nutzungsbedingungen

Die ETH-Bibliothek ist Anbieterin der digitalisierten Zeitschriften. Sie besitzt keine Urheberrechte an den Inhalten der Zeitschriften. Die Rechte liegen in der Regel bei den Herausgebern.

Die auf der Plattform e-periodica veröffentlichten Dokumente stehen für nicht-kommerzielle Zwecke in Lehre und Forschung sowie für die private Nutzung frei zur Verfügung. Einzelne Dateien oder Ausdrucke aus diesem Angebot können zusammen mit diesen Nutzungsbedingungen und den korrekten Herkunftsbezeichnungen weitergegeben werden.

Das Veröffentlichen von Bildern in Print- und Online-Publikationen ist nur mit vorheriger Genehmigung der Rechteinhaber erlaubt. Die systematische Speicherung von Teilen des elektronischen Angebots auf anderen Servern bedarf ebenfalls des schriftlichen Einverständnisses der Rechteinhaber.

Haftungsausschluss

Alle Angaben erfolgen ohne Gewähr für Vollständigkeit oder Richtigkeit. Es wird keine Haftung übernommen für Schäden durch die Verwendung von Informationen aus diesem Online-Angebot oder durch das Fehlen von Informationen. Dies gilt auch für Inhalte Dritter, die über dieses Angebot zugänglich sind.

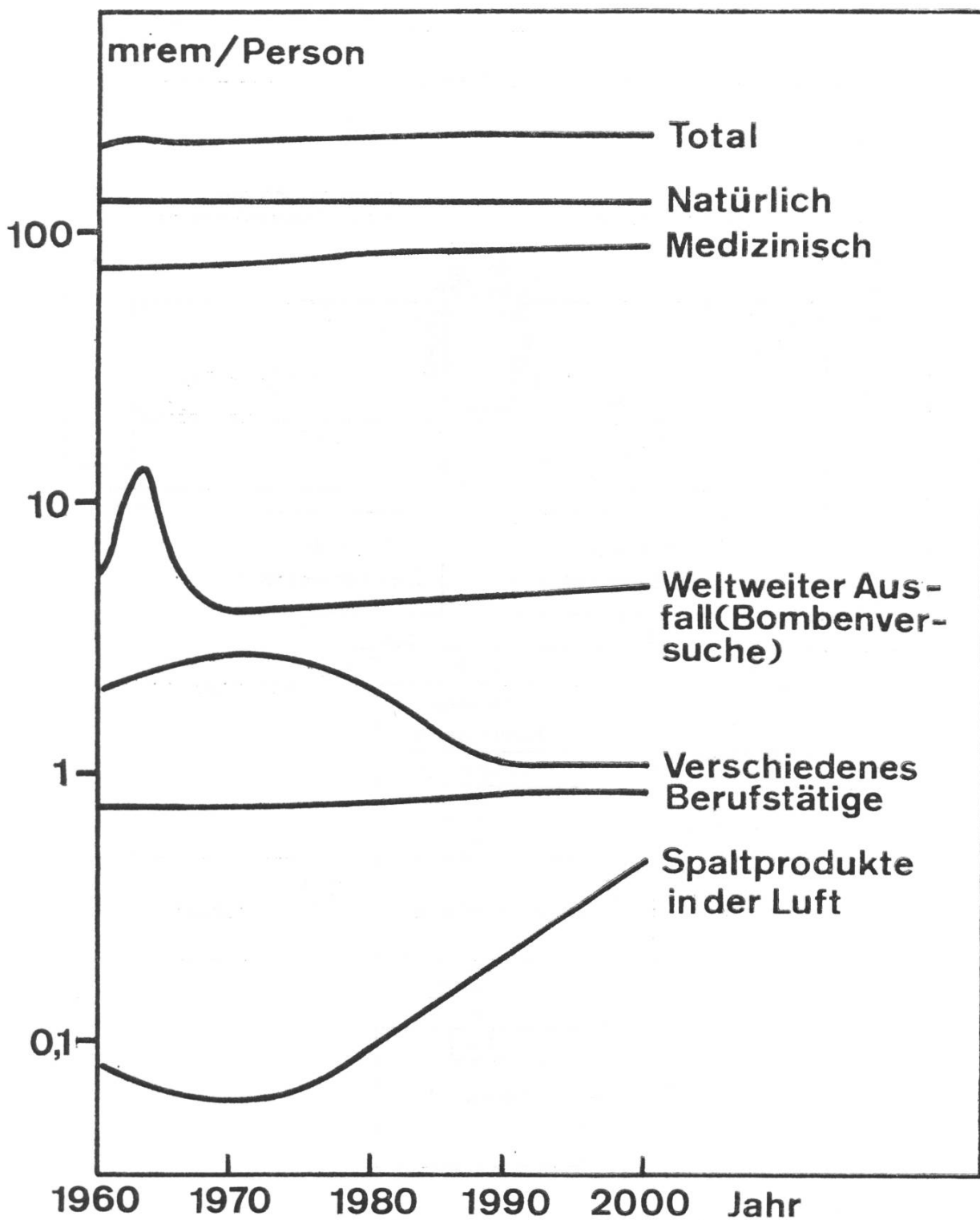


Fig. 1. Geschätzte mittlere Ganzkörperäquivalentdosen in den USA, aus (2)

Fig. 1. Estimation des doses moyennes du corps entier aux Etats Unis, prise de (2)

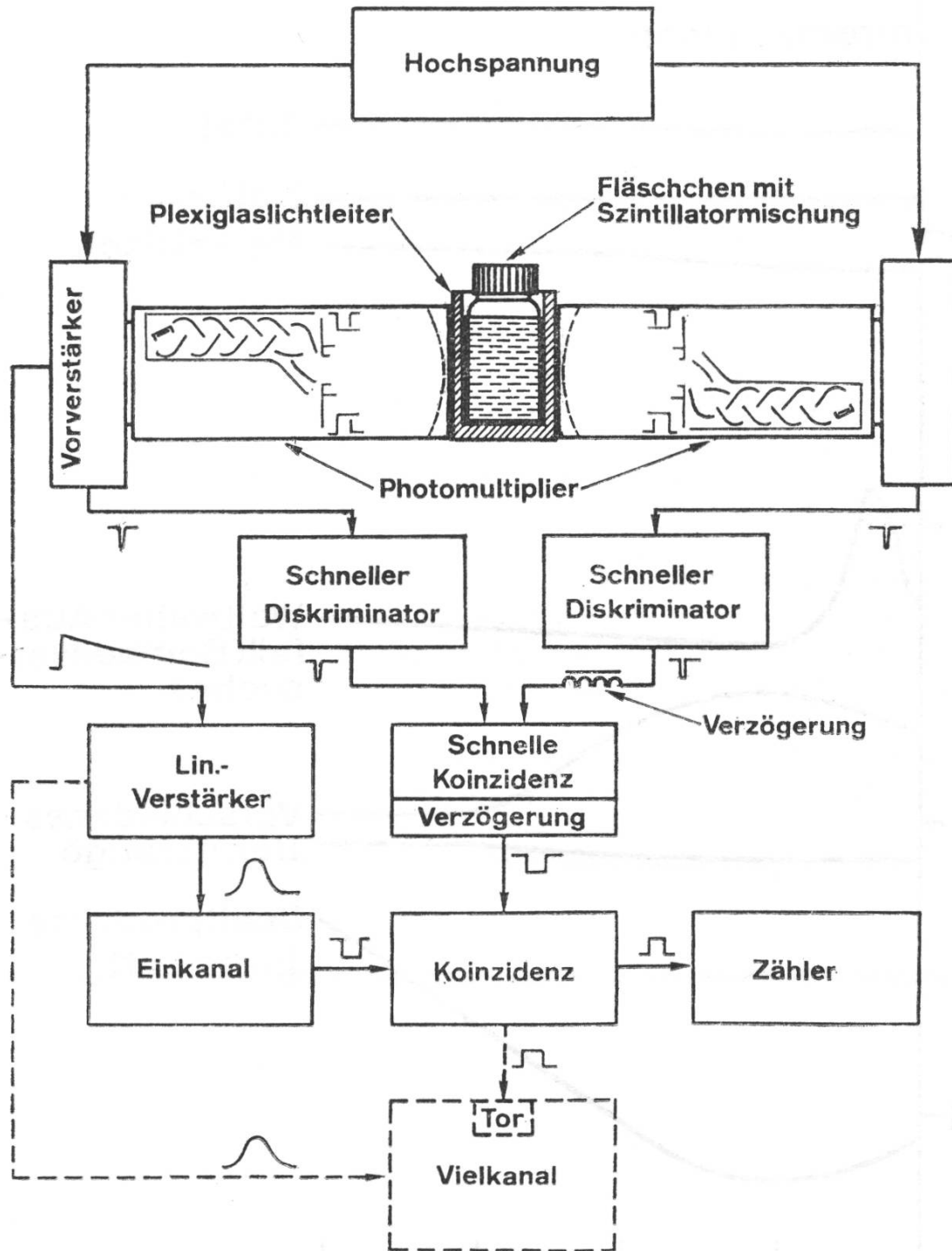


Fig. 2. Koinzidenzapparatur zur Tritiumaktivitätsmessung

Fig. 2. Appareillage de coïncidence pour la mesure de l'activité tritium

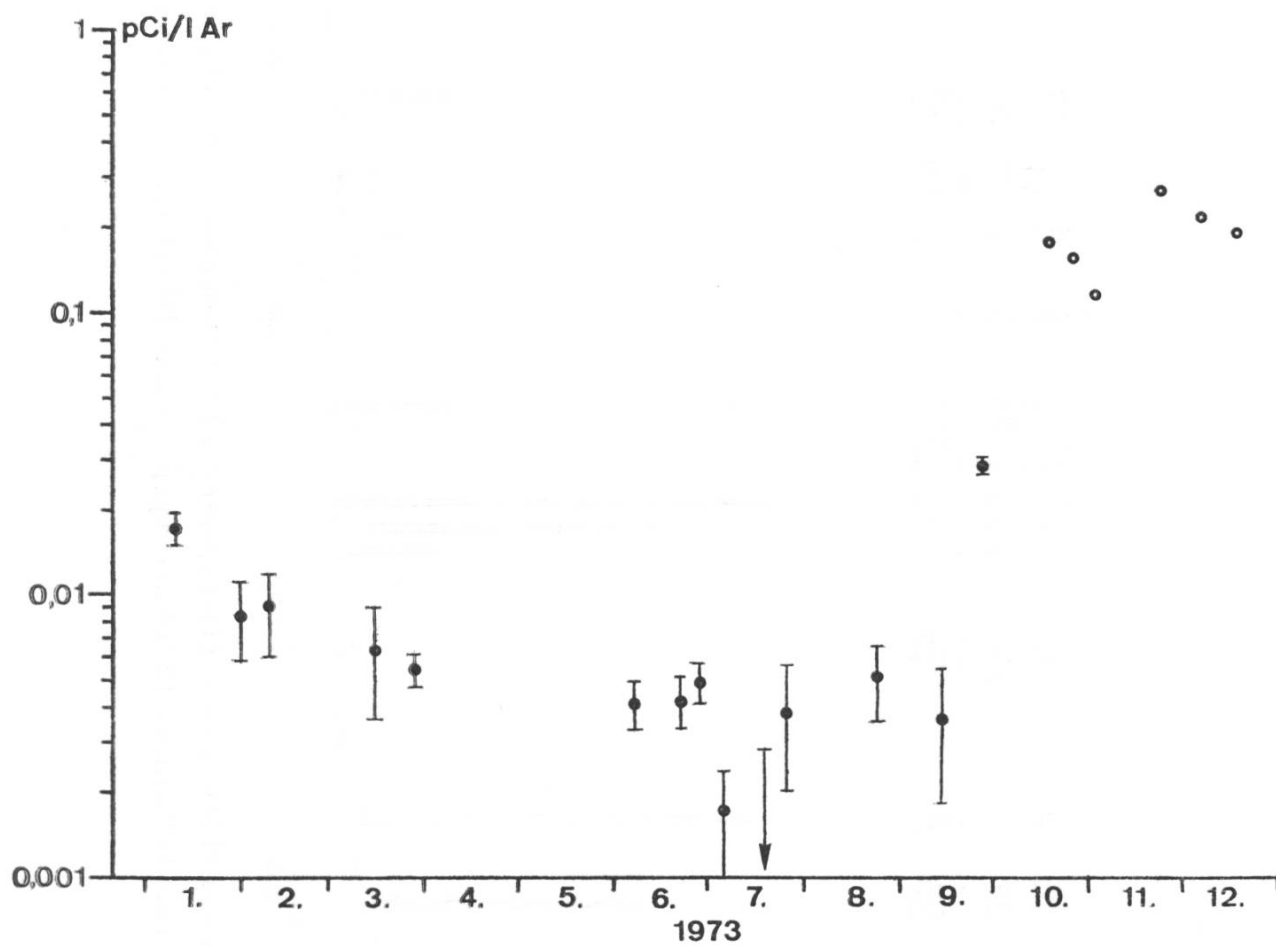


Fig. 3. Ar-37 in der Luft von Bern

Fig. 3. Ar-37 de l'air à Berne

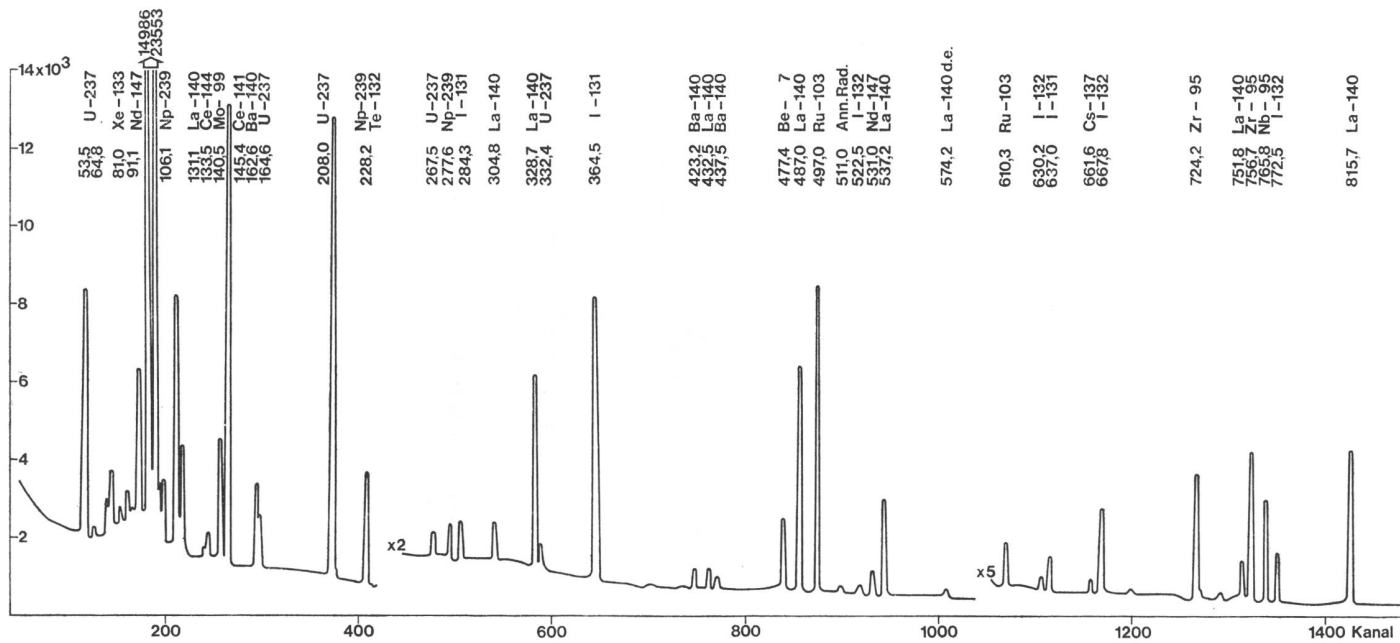


Fig. 4. Gammaspektrum einer Luftprobe aus 12 500 m Höhe (Tropopause bei 10 200 m), gesammelt und gemessen am 17. 7. 73

Fig. 4. Spectre gamma d'un échantillon d'air de l'altitude 12 500 m (tropopause à 10 200 m), collecté et mesuré le 17. 7. 73

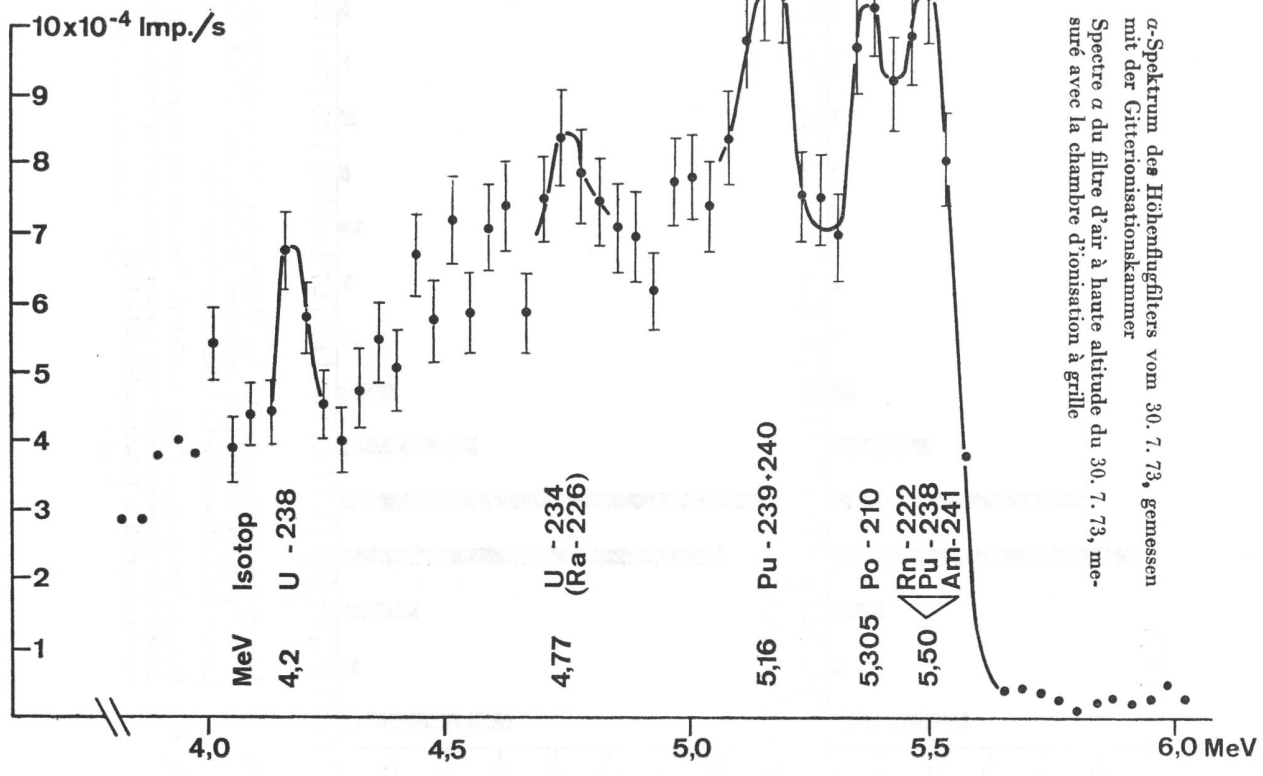


Fig. 5. α -Spektrum des H6h6nfilters vom 30. 7. 73, gemessen mit der Gitterionisationskammer
 Fig. 5. Spectre α du filtre d'air \grave{a} haute altitude du 30. 7. 73, mesur6 avec la chambre d'ionisation \grave{a} grille

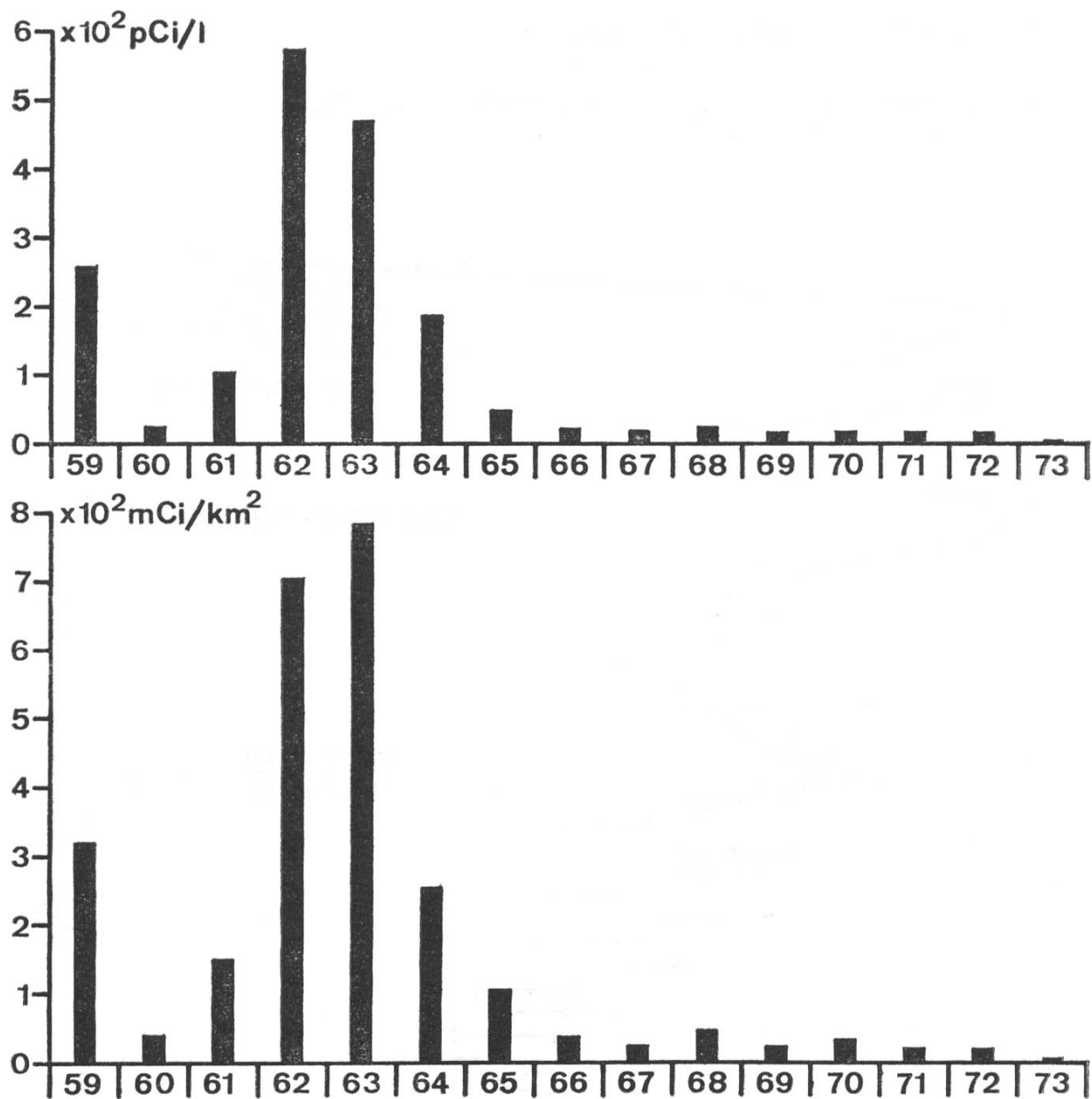


Fig. 6. Jahresmittel der Betaaktivität des Regenwassers (oben) und jährliche, dem Erdboden durch Niederschlag zugeführte Betaaktivität pro km^2 Bodenfläche (unten) für die Messstelle La Valsainte, 1959 bis 1973

Fig. 6. Moyenne annuelle de l'activité bêta de l'eau de précipitations (en haut) et activité bêta déposée annuellement par km^2 au sol par les précipitations (en bas) pour la station de la Valsainte, de 1959 à 1973

350 nCi/kg TS

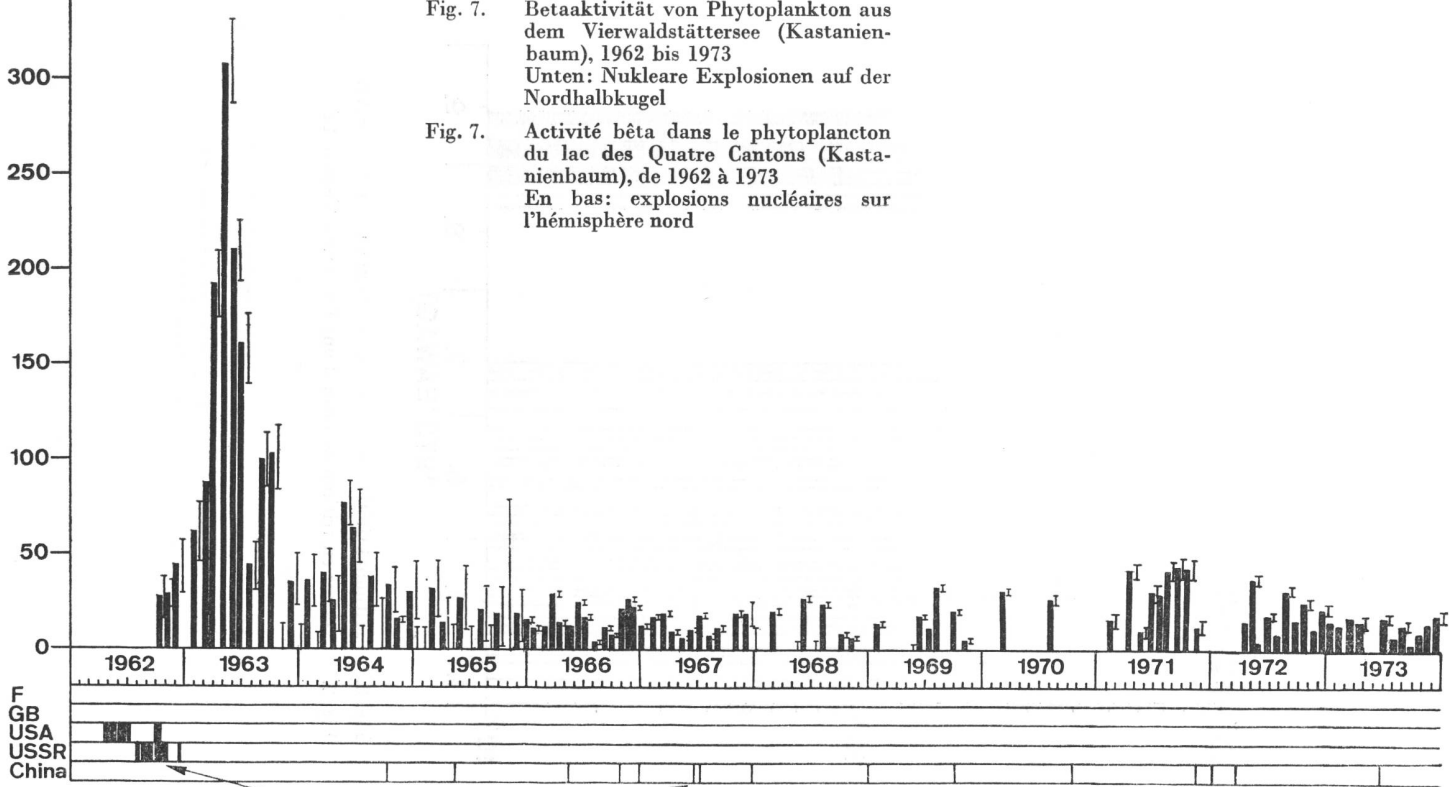


Fig. 7. Betaaktivität von Phytoplankton aus dem Vierwaldstättersee (Kastanienbaum), 1962 bis 1973
Unten: Nukleare Explosionen auf der Nordhalbkugel

Fig. 7. Activité bêta dans le phytoplancton du lac des Quatre Cantons (Kastanienbaum), de 1962 à 1973
En bas: explosions nucléaires sur l'hémisphère nord

Nukleare Explosionen

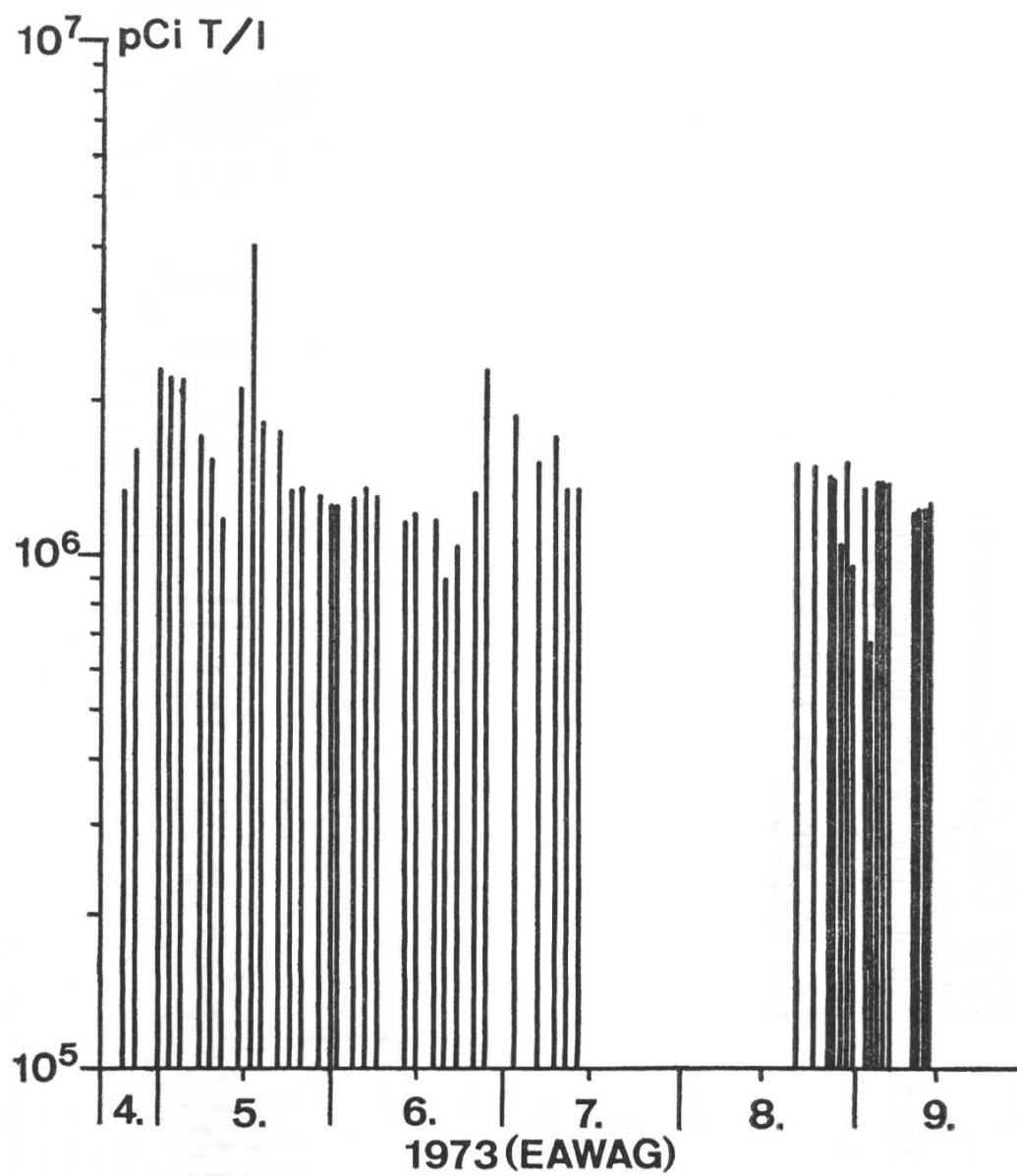


Fig. 8. Tritiumaktivität im Wasser eines Brunnens in Teufen AR

Fig. 8. Teneur en tritium de l'eau d'une fontaine à Teufen AR

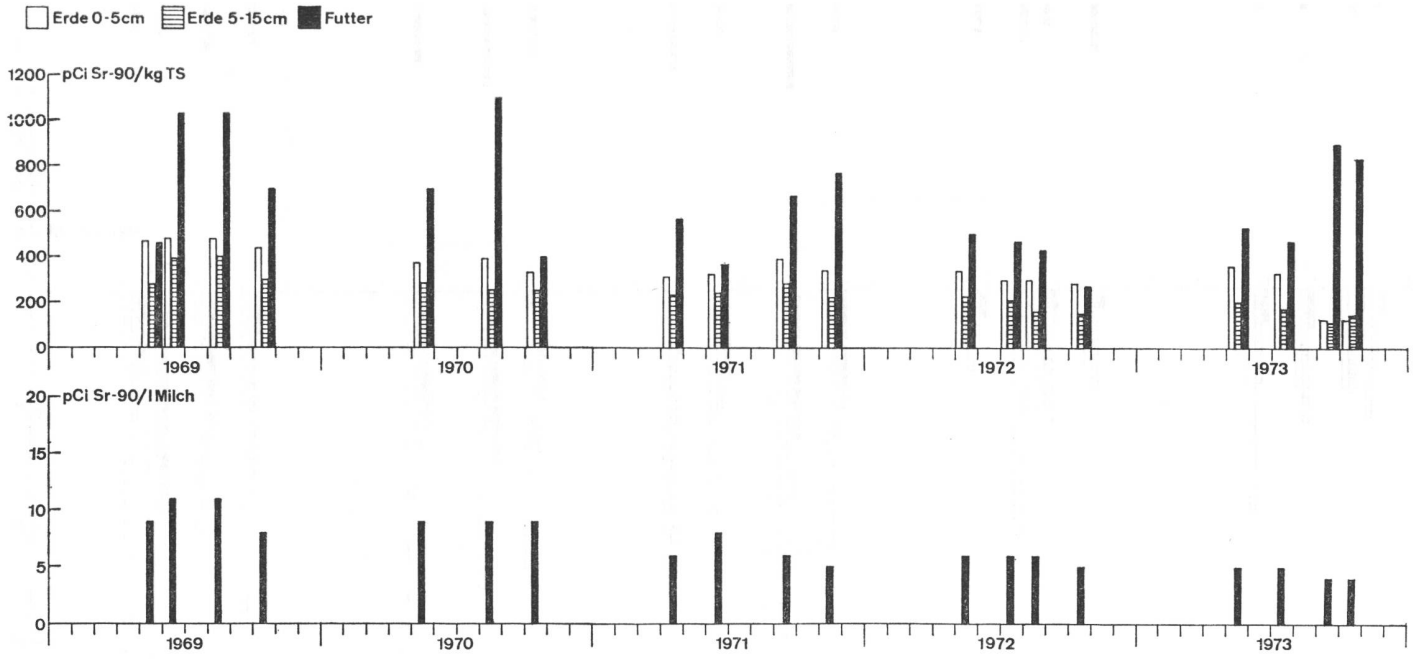
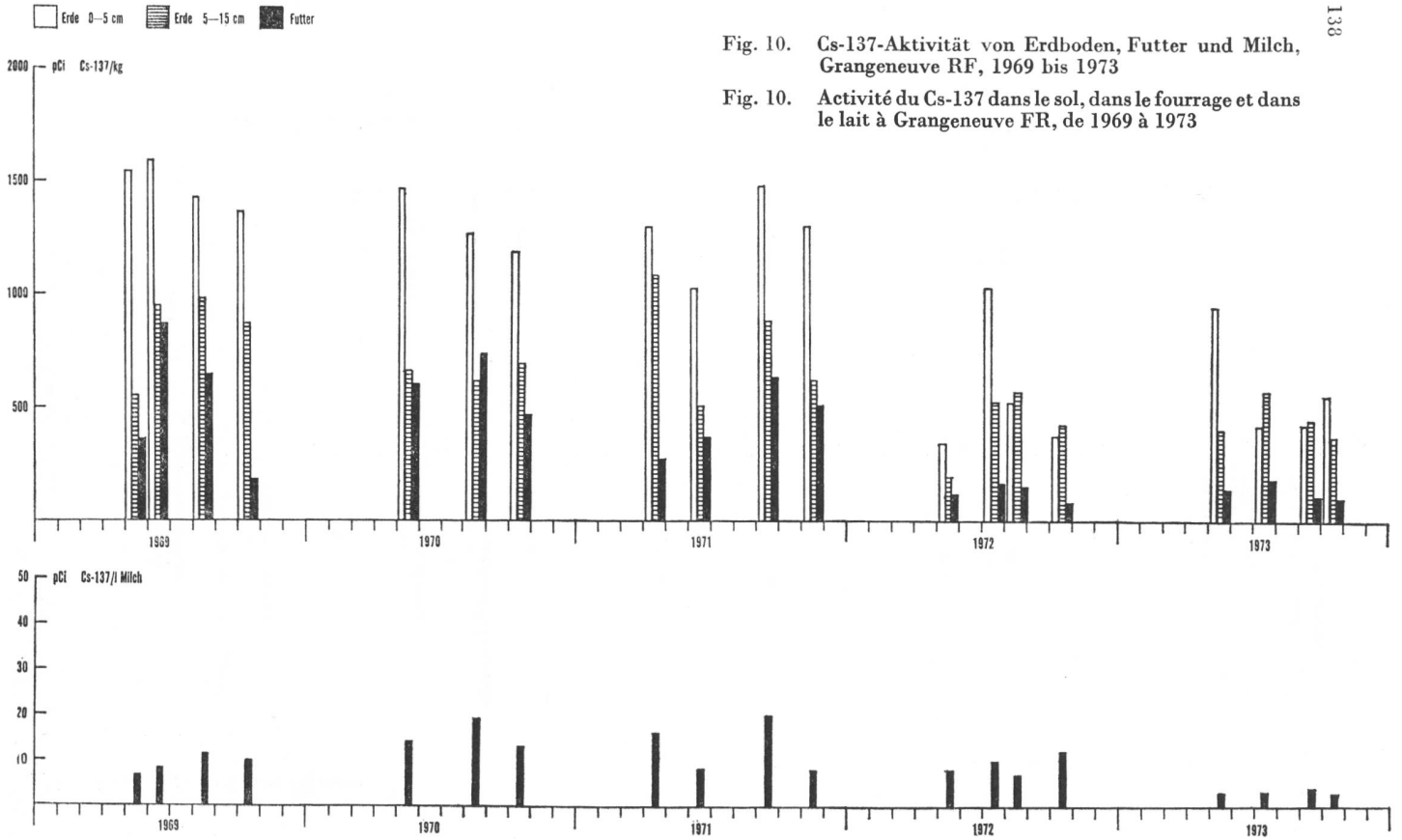


Fig. 9. Sr-90-Aktivität von Erdboden, Futter und Milch, Grangeneuve FR, 1969 bis 1973

Fig. 9. Activité du Sr-90 dans le sol, dans le fourrage et dans le lait à Grangeneuve FR, de 1969 à 1973

Fig. 10. Cs-137-Aktivität von Erdboden, Futter und Milch, Grangeneuve RF, 1969 bis 1973

Fig. 10. Activité du Cs-137 dans le sol, dans le fourrage et dans le lait à Grangeneuve FR, de 1969 à 1973



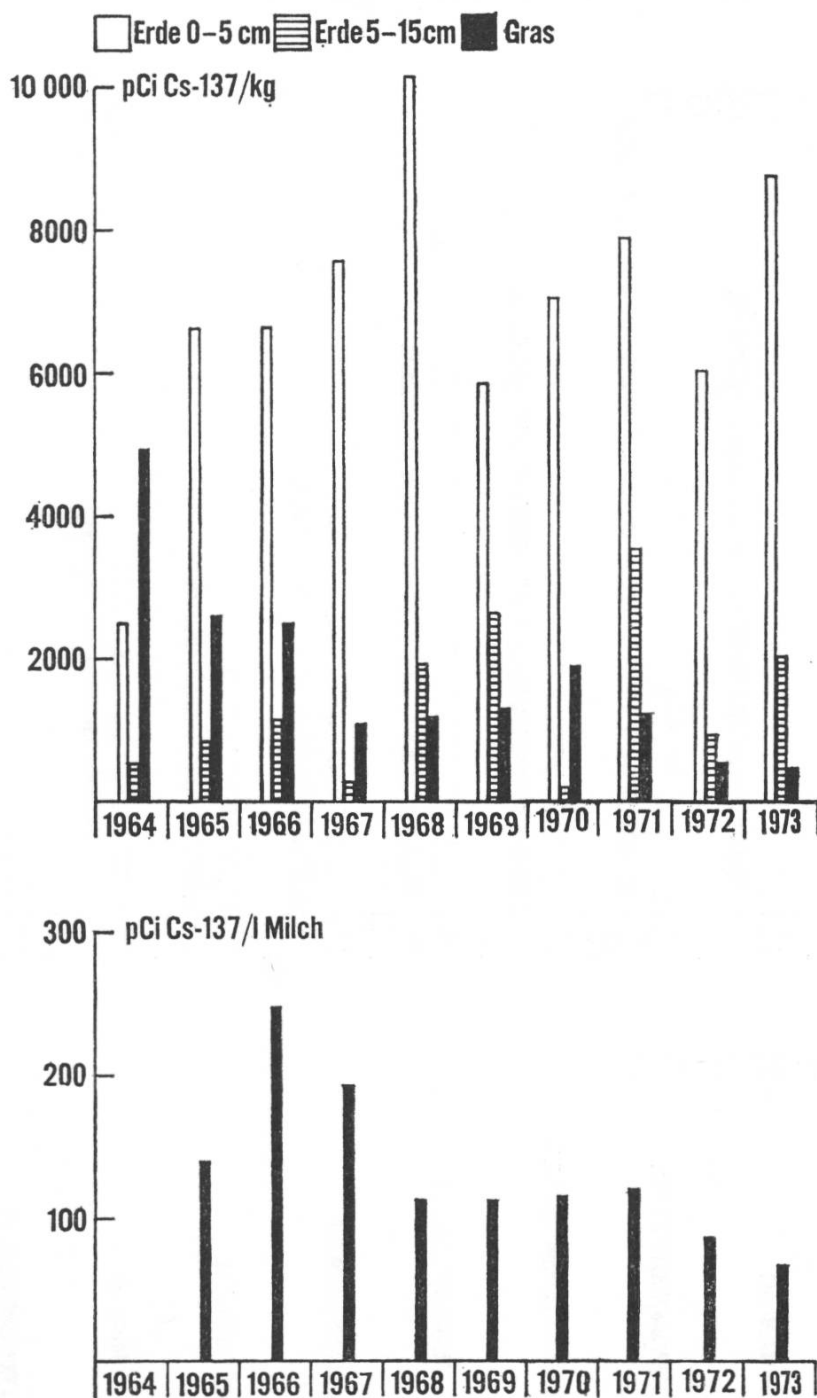


Fig. 11. Cs-137-Aktivität von Erdboden, Gras und Milch, Davos-Stillberg, 1964 bis 1973

Fig. 11. Activité du Cs-137 dans le sol, dans l'herbe et dans le lait à Davos-Stillberg, de 1964 à 1973

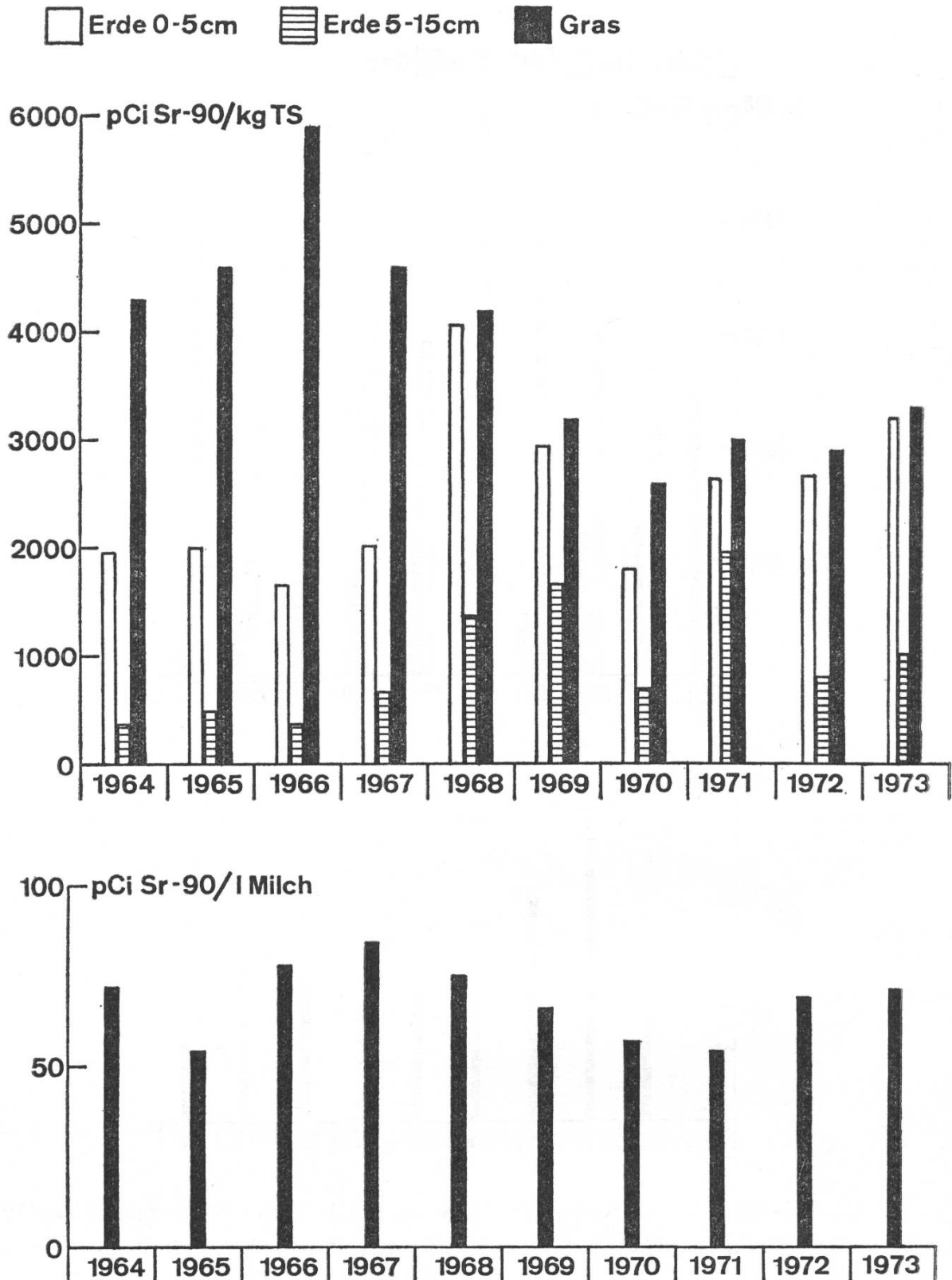


Fig. 12. Sr-90-Aktivität von Erdboden, Gras und Milch, Davos-Stillberg, 1964 bis 1973

Fig. 12. Activité du Sr-90 dans le sol, dans l'herbe et dans le lait à Davos-Stillberg, de 1964 à 1973

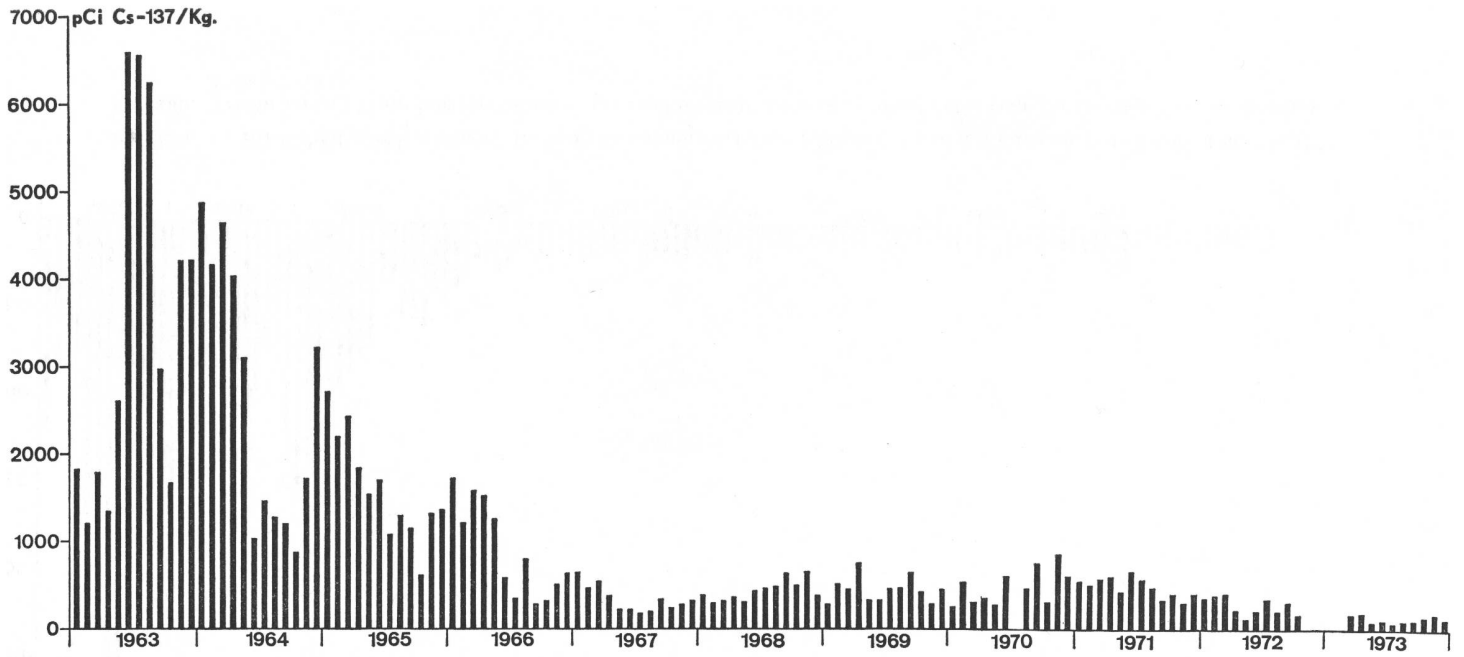


Fig. 13a. Cs-137-Gehalt von Viehfutter (monatliche Probenahme), Ostschweiz, 1963 bis 1973

Fig. 13a. Teneur en Cs-137 du fourrage (prélèvement mensuel d'échantillons), Suisse orientale, de 1963 à 1973

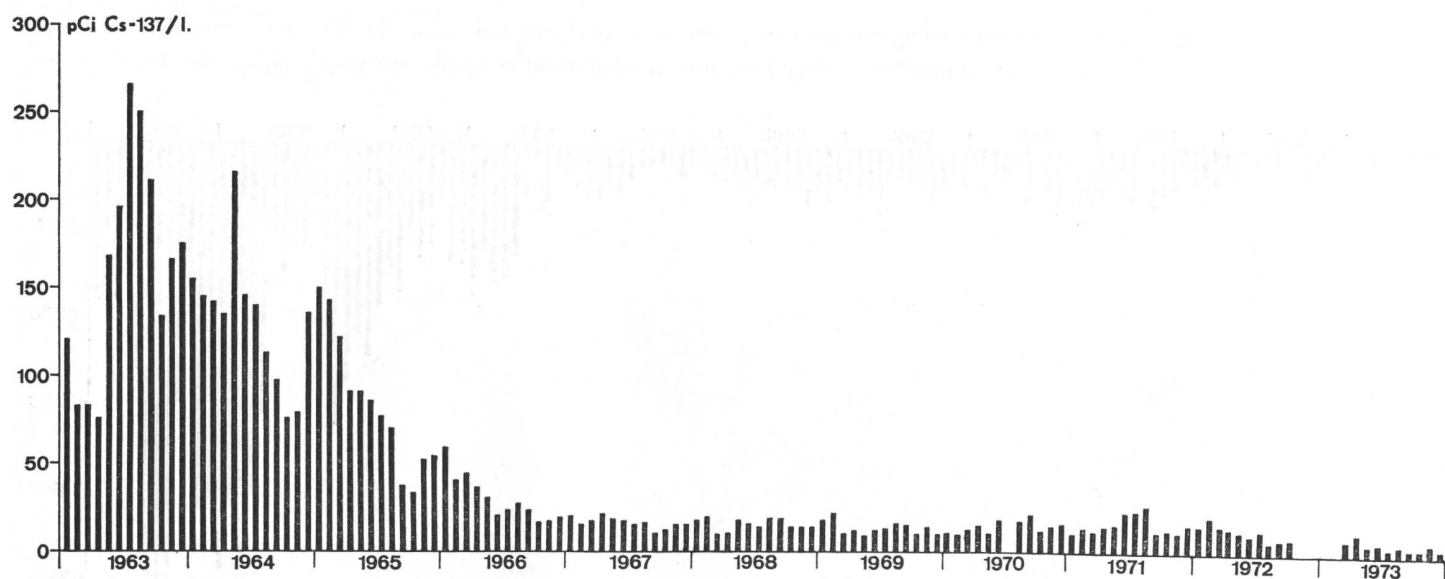


Fig. 13b. Cs-137-Gehalt von Milch (monatliche Probenahme zwei Tage nach derjenigen des Futters), Ostschweiz, 1963 bis 1973

Fig. 13b. Teneur en Cs-137 du lait (prélèvement mensuel d'échantillons deux jours après celui du fourrage), Suisse orientale, de 1963 à 1973

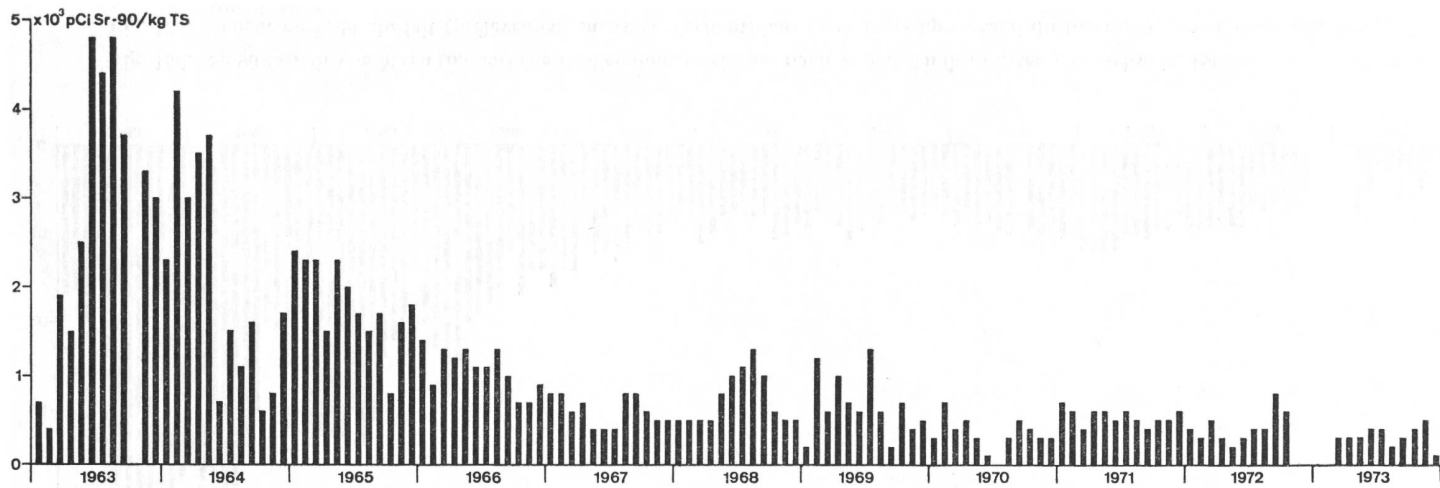


Fig. 13c. Sr-90-Gehalt von Viehfutter (monatliche Probenahme), Ostschweiz, 1963 bis 1973

Fig. 13c. Teneur en Sr-90 du fourrage (prélèvement mensuel d'échantillons), Suisse orientale, de 1963 à 1973

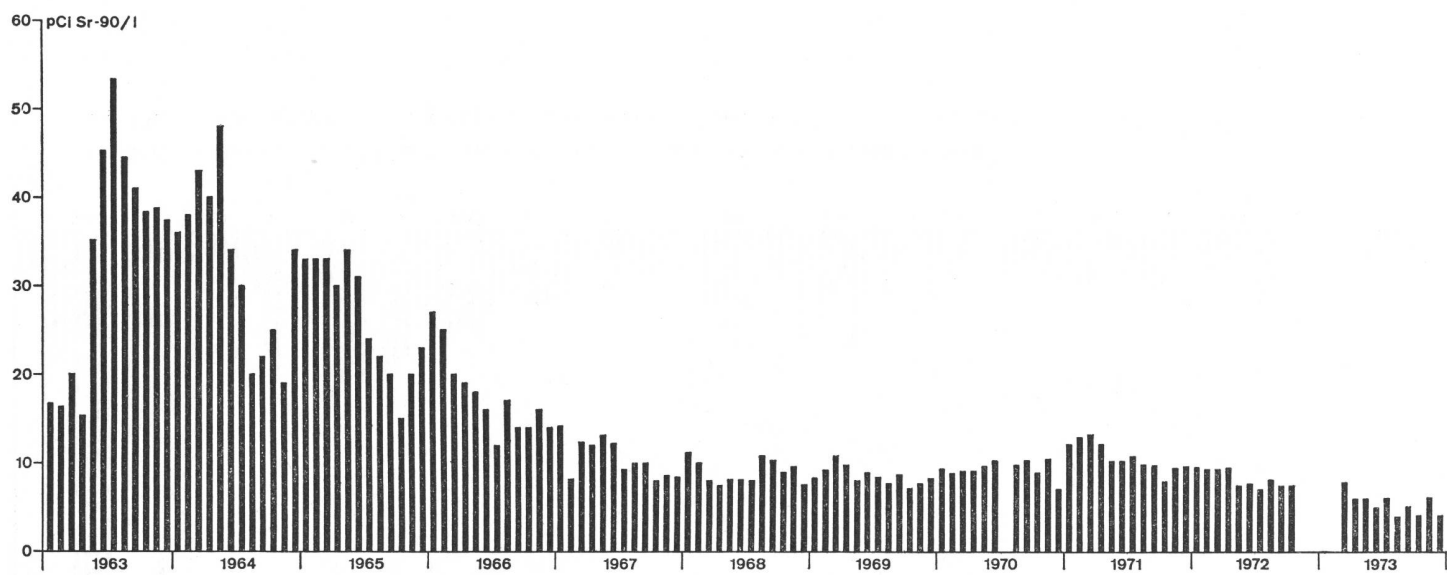


Fig. 13d. Sr-90-Gehalt von Milch (monatliche Probenahme zwei Tage nach derjenigen des Futters), Ostschweiz, 1963 bis 1973

Fig. 13d. Teneur en Sr-90 du lait (prélèvement mensuel d'échantillons deux jours après celui du fourrage), Suisse orientale, de 1963 à 1973

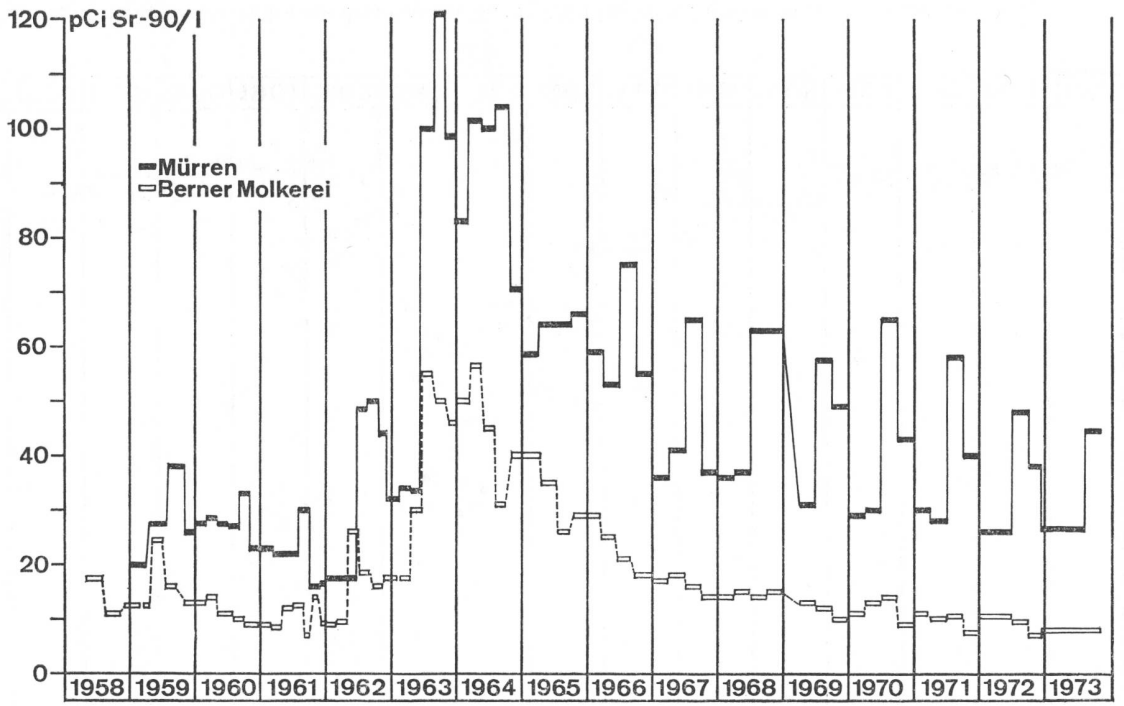


Fig. 14. Sr-90-Aktivität von Frischmilch aus dem Flachland (Bern, 540 m) und aus einer Höhenlage (Mürren, 1650 m) für die Jahre 1958 bis 1973

Fig. 14. Activité du Sr-90 dans le lait frais de plaine (Berne, 540 m) et de montagne (Mürren, 1650 m) pour les années 1958 à 1973

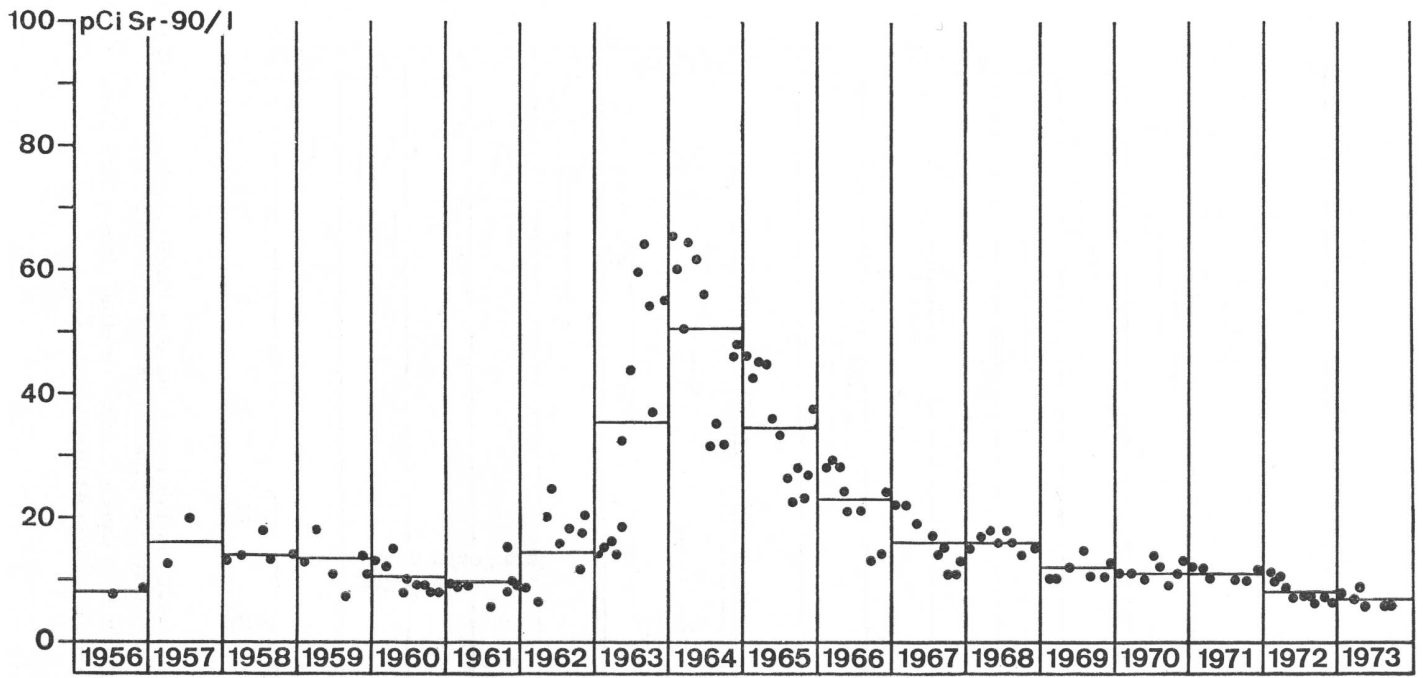
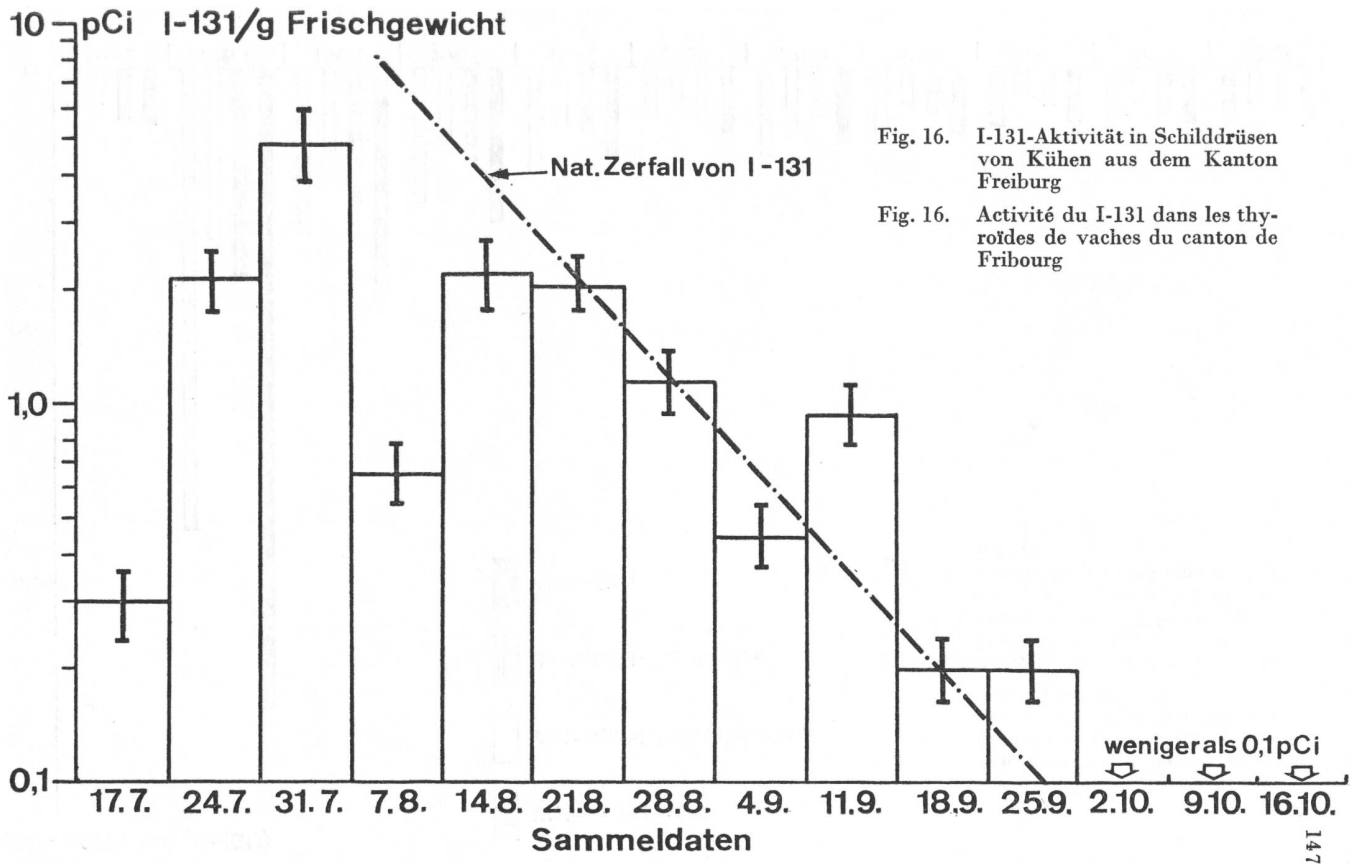
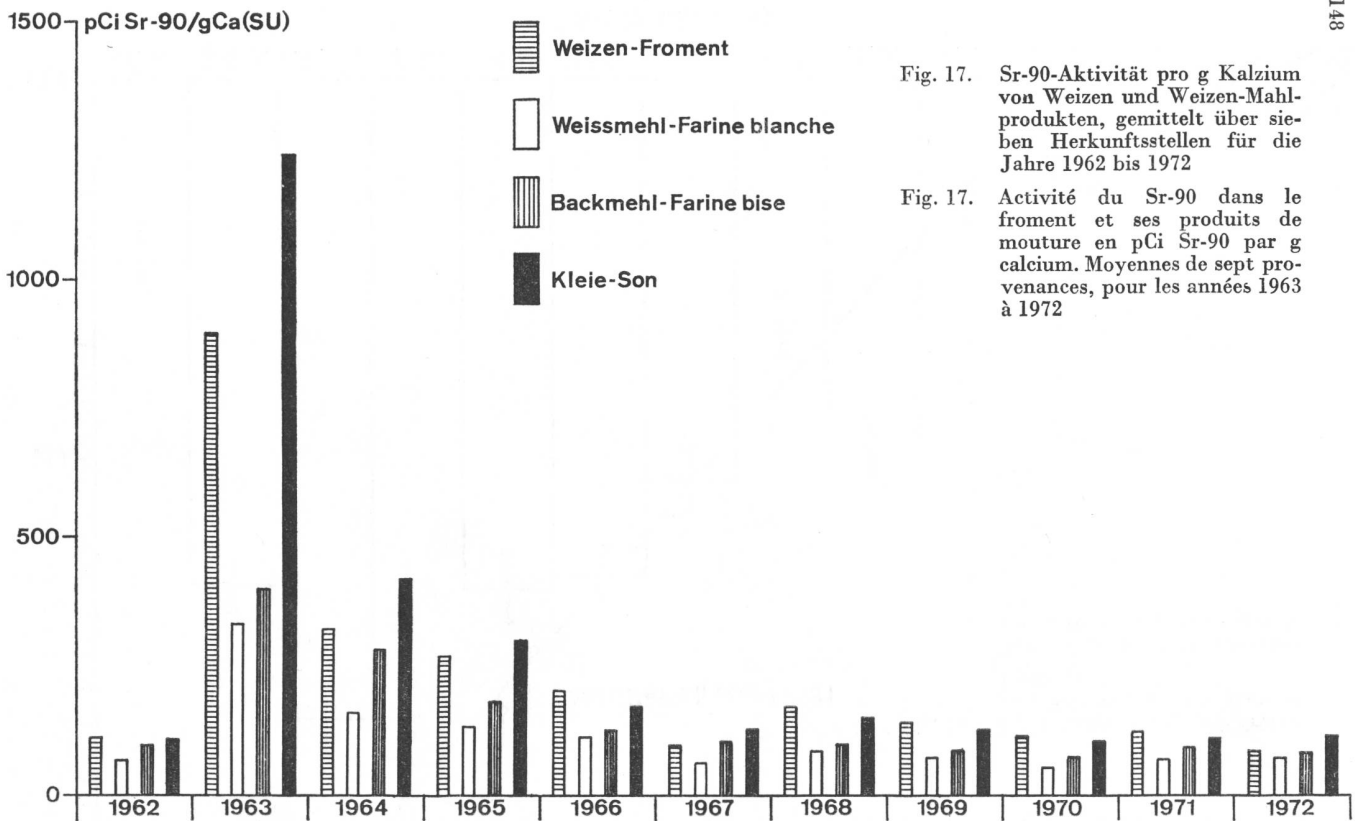


Fig. 15. Sr-90-Aktivität von Trockenmilch aus dem Kanton Waadt, 1956 bis 1973. Angaben in pCi/l Frischmilch

Fig. 15. Activité du Sr-90 dans le lait en poudre du canton de Vaud pour les années 1956 à 1973. Données en pCi/l lait frais





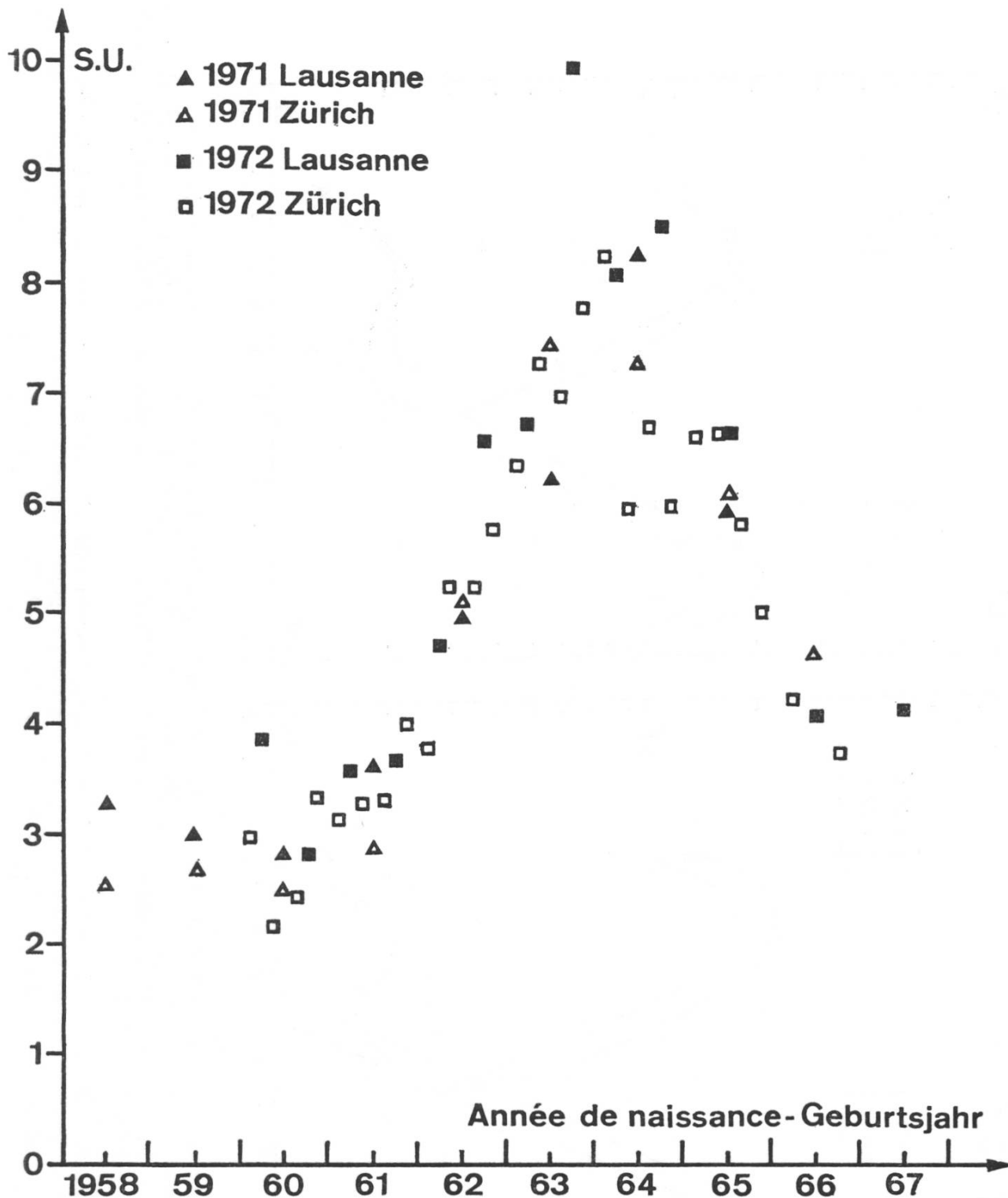


Fig. 18. Sr-90-Aktivität in Milchzähnen, Sammlungen Lausanne und Zürich 1971 und 1972, in Strontium-Einheiten

Fig. 18. Activité du Sr-90 dans les dents de lait, prélevées à Lausanne et Zurich 1971 et 1972, en unités de strontium

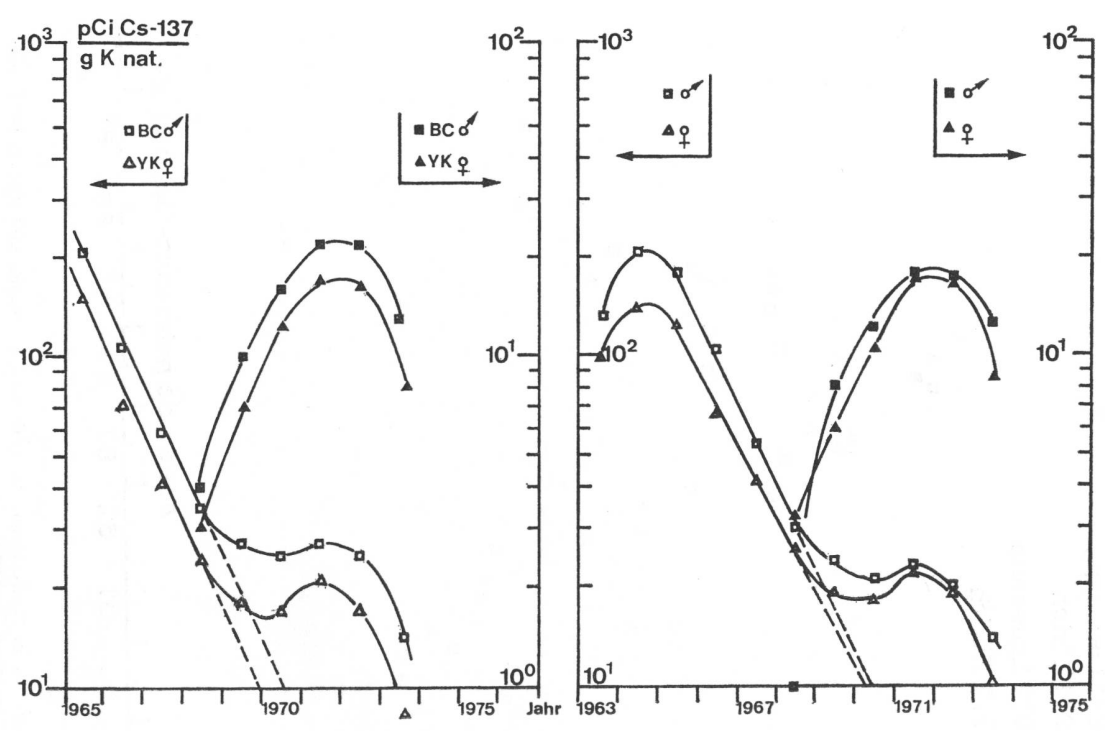


Fig. 19. Jahresmittelwerte des Cs-137-Gehaltes im menschlichen Körper, Messungen am Ganzkörperzähler Genf
 Figur links: Einzelpersonen; Figur rechts: Durchschnittswerte von Männern und Frauen. Leere Zeichen (Skala links): totale Cs-137-Aktivität; volle Zeichen (Skala rechts): Differenz zwischen totaler Cs-137-Aktivität und Restaktivität aus den Jahren 1962 bis 1964

Fig. 19. Moyennes annuelles de l'activité du Cs-137 dans le corps humain, mesurées à l'anthropo-spectromètre de Genève
 Figure à gauche: personnes individuelles; figure à droite: valeurs moyennes des hommes et des femmes. Signes vides (échelle à gauche): activité totale du Cs-137; signes pleins (échelle à droite): différence entre activité totale du Cs-137 et activité restante des années 1962 à 1964